

Waldemar JĘDRAL

Instytut Techniki Ciepłej
Politechnika Warszawska

PRZEPIŁYW CIECZY W SZCZELINIE POPRZECZNEJ ZE ŚCIANKĄ WIRUJĄCĄ I PRZEMIESZCZAJĄCĄ SIĘ W KIERUNKU OSIOWYM

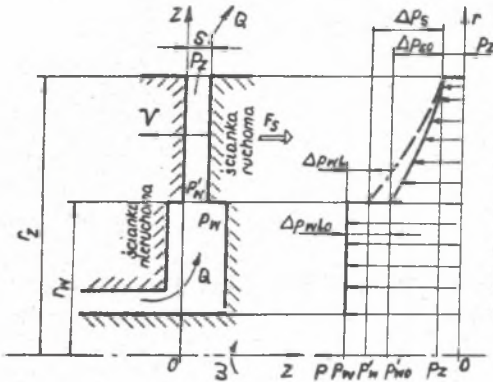
Streszczenie: W pracy rozpatrzono quasi-ustalony osiowo-symetryczny przepływ turbulentny cieczy w szczelinie poprzecznej utworzonej przez dwie równoległe płaskie i gładkie ścianki. Jedna ze ścianek jest nieruchoma, druga zaś wiruje wokół osi pompy z prędkością kątową ω i równocześnie przesuwają się w kierunku osiowym z prędkością V . Dla takiego przypadku wyrowadzono przybliżone zależności analityczne $p = f(r, \omega, V)$ opisujące rozkład ciśnień w szczelinie. Otrzymane zależności mogą być użyteczne przy numerycznej symulacji własności dynamicznych hydrostatycznych łożysk wzdłużnych a w szczególności układów z tarczami odciążającymi w pompach wirowych.

1. Wstęp

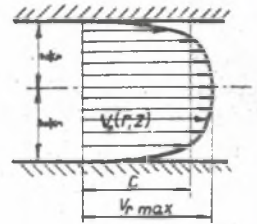
W wielu maszynach, w których występują duże siły osiowe niemożliwe do przejęcia za pomocą typowych węzłów łożyskowych, stosuje się wzdłużne łożyska hydrostatyczne. Specyficzną odmianą takich łożysk są zespoły tarcz i bębnow odciążających spotykane w wielostopniowych pompach wirowych. Ważnym elementem łożysk hydrostatycznych jest poprzeczna szczelina dławiąca, znajdująca się między ruchomą i nieruchomą tarczą łożyska. W przypadku automatycznego dostosowywania się szerokości szczeliny do zmieniających się warunków pracy urządzenia ruchoma ścianka szczeliny przemieszcza się w kierunku osiowym. Prędkość przemieszczeń V ma silny wpływ na rozkład ciśnień w szczelinie i powstanie siły tłumiącej drgania osiowe. W literaturze brak jest odpowiednich zależności dla przepływu laminarnego przy większych wartościach liczb Reynoldsa, a także dla przepływu turbulentnego. W niniejszej pracy wyrowadzono zależności uwzględniające wpływ prędkości V na rozkład ciśnień dla turbulentnego przepływu cieczy w szczelinie.

2. Równania ruchu i rozkłady prędkości

Rozpatrywany jest quasi-ustalony osiowo-symetryczny przepływ turbulentny cieczy nieściśliwej w szczelinie poprzecznej pierścieniowej utworzonej



Rys. 1. Rozkład ciśnień w szczelinie poprzecznej



Rys. 2. Rozkład prędkości promieniowych

przez dwie równoległe płaskie i gładkie ścianki (rys.1). Jedna ze ścianek jest nieruchoma, druga zaś wiruje wokół osi z z prędkością kątową $\omega = \text{const}$ i równocześnie przesuwają się w kierunku osiowym z prędkością V . Rozpatrywany jest przypadek, gdy $V \ll u_w$ i $V \ll c_w$, przykładowo: na wlocie do szczeliny prędkości c_w i $u_w = \omega r_w$ są rzędu 40 - 70 m/s, podczas gdy $V = 0 - 0,02$ m/s.

Przepływ taki można opisać równaniami:

$$\left. \begin{aligned} \frac{1}{r} \frac{\partial(rv_r)}{\partial r} + \frac{\partial v_z}{\partial z} &= 0 \\ v_r \frac{\partial v_r}{\partial r} + v_z \frac{\partial v_r}{\partial z} - \frac{v_\varphi^2}{r} &= -\frac{1}{\rho} \frac{dp}{dr} + \frac{1}{\rho} \frac{\partial \tau_{zr}}{\partial z} \end{aligned} \right\} \quad (1)$$

z warunkami brzegowymi

$$\left. \begin{aligned} z = 0 : v_r &= 0, v_z = 0 \\ z = s : v_r &= 0, v_z = -V \\ r = r_w : p &= p'_w \\ r = r_z : p &= p_z \end{aligned} \right\} \quad (2)$$

Równania (1) otrzymano z pełnego układu równań Reynoldsa oraz ciągłości dla przepływu cieczy nieściśliwej o stałej lepkości, przy braku zewnętrznych sił masowych. Uczyniono przy tym założenia upraszczające analogiczne do odpowiednich założeń w pracy [1]. Prędkości v_r , v_φ , v_z oraz ciśnienia p , p'_w i p_z są parametrami uśrednionymi czasowo; dla uproszczenia zapisu

opuszczono kreseczki nad symbolami tych wielkości.

W równaniach ruchu pominięto równania pędu w kierunku obwodowym (φ) i osiowym (z). Pierwsze - z powodu założenia (wzory 7) określonego rozkładu prędkości $v_\varphi(r, z)$; drugie - gdyż jak wynika z oszacowań przyrosty ciśnienia w kierunku osi z są znikomo małe (poniżej 1 Pa) i nie mają wpływu na siłę F_s działającą na ściankę szczeliny.

Podobnie jak w [1] założono, że rozkład prędkości promieniowych można aproksymować zależnościami (por. rys.2):

$$\left. \begin{aligned} v_r &= v_{r\max} f(z), \text{ gdzie:} \\ f(z) &= \left(\frac{2z}{s}\right)^{1/n} \text{ dla } 0 \leq z \leq s/2, \\ f(z) &= \left[2\left(1 - \frac{z}{s}\right)\right]^{1/n} \text{ dla } s/2 \leq z \leq s, \\ v_{r\max} &= \frac{n+1}{n} c \end{aligned} \right\} \quad (3)$$

Zbliżanie się ścianki ruchomej z prędkością V do ścianki nieruchomej będzie powodować "wyciskanie" z każdego elementu dr szczeliny $dQ = 2\pi r dr v$ cieczy dodającej się do zasadniczego strumienia objętości $Q = 2\pi r s c$. Spowoduje to zwiększenie się składowych v_r prędkości w porównaniu do przepływu wywołanego takim samym spadkiem ciśnienia Δp lecz przy $V = 0$. Założono przy tym, że nie zmieni się charakter rozkładu prędkości (wzory 3), natomiast wartości v_r , $v_{r\max}$ i c ulegną odpowiedniemu powiększeniu.

Czynnik zwiększający $Z = f(V, c_w, r)$ można obliczyć z równania ciągłości (1.1). Mnożąc obie jego strony przez $r dr dz$ i całkując w granicach r_w do r a następnie od 0 do s otrzymuje się:

$$\int_0^s (r v_r - r_w v_{rw}) dz = \frac{1}{2} (r^2 - r_w^2) V,$$

a stąd, po uwzględnieniu (3):

$$\left. \begin{aligned} v_r &= v_{rw} \frac{r_w}{r} Z; \quad v_{r\max} = v_{r\max w} \frac{r_w}{r} Z; \\ c &= c_w \frac{r_w}{r} Z \end{aligned} \right\} \quad (4)$$

gdzie;

$$\left. \begin{aligned} Z &= 1 + \frac{V}{2c_w} \frac{r^2 - r_w^2}{r_w s} = 1 + G \left[\left(\frac{r}{r_w}\right)^2 - 1 \right] \\ G &= \frac{V}{2c_w} \frac{r_w}{s} = \frac{V}{4c_w} \frac{d_w}{s} \end{aligned} \right\} \quad (5)$$

Z równania (1.1) po uwzględnieniu (4) wynika, iż

$$\frac{\partial v_z}{\partial z} = -\frac{1}{r} \frac{\partial}{\partial r} (r v_r) = -f(z) \frac{n+1}{n} \frac{V}{s}, \text{ stąd zaś}$$

$$\left. \begin{aligned} \text{dla } 0 \leq z \leq s/2 : \quad v_z &= -\frac{v}{2} \left(\frac{2z}{s} \right)^{\frac{n+1}{n}} \\ \text{dla } s/2 \leq z \leq s : \quad v_z &= \frac{v}{2} \left[2 \left(1 - \frac{z}{s} \right)^{\frac{n+1}{n}} - v \right] \end{aligned} \right\} \quad (6)$$

Wreszcie, podobnie jak w [1], założono potęgowy rozkład prędkości obwodowych

$$\left. \begin{aligned} \text{dla } 0 \leq z \leq s/2 : \quad v_\varphi &= \bar{K} \omega r \left(\frac{2z}{s} \right)^{1/n} \\ \text{dla } s/2 \leq z \leq s : \quad v_\varphi &= \omega r \left\{ 1 - (1 - \bar{K}) \left[2 \left(1 - \frac{z}{s} \right) \right]^{1/n} \right\} \end{aligned} \right\} \quad (7)$$

Współczynnik $\bar{K} < 0,5$ jest średnim stopniem zawirowania cieczy w połowie szerokości szczeliny, który można wyznaczyć z zależności podanych w [1].

3. Rozkład ciśnień wzdłuż ścianek szczeliny

Dalsze obliczenia wykonano dla wartości $n = 7$, najczęściej przyjmowanej w szerokim zakresie przepływów turbulentnych. Mnożąc obie strony (1.1) przez dx i całkując w granicach $0 - s/2$ i $s/2 - s$, z uwzględnieniem (4 ÷ 7), a następnie dodając stronami wyniki, otrzymano:

$$\begin{aligned} \frac{64}{63} c_w^2 \frac{s}{r_w} \left[G^2 x - \frac{(1-G)^2}{x^3} \right] + \frac{64}{63} c_w v (Gx + \frac{1-G}{x}) - (\omega r_w)^2 \frac{s}{r_w} \frac{1+7\bar{K}+56\bar{K}^2}{72} x = \\ = -\frac{1}{9} \frac{dp}{dx} \frac{s}{r_w} - \frac{1}{9} (\tau_{nr} + \tau_{\omega r}) \end{aligned} \quad (8)$$

τ_{nr} i $\tau_{\omega r}$ są to promieniowe składowe naprężeń na ścianie nieruchomej (n) i ruchomej (ω). Dla wygody całkowania wprowadzono nową zmienną

$$x = \frac{r}{r_w} \quad (9)$$

Mnożąc następnie obie strony równania (8) przez dx i całkując w granicach od 1 do x , z uwzględnieniem warunków brzegowych (2), otrzymano:

$$\begin{aligned} p = p'_w - \frac{8}{21} \rho v^2 \left(\frac{r_w}{s} \right)^2 (x^2 - 1) - \frac{64}{63} \rho c_w v \frac{r_w}{s} (1-G) \ln x + \frac{32}{63} \rho c_w^2 (1-G)^2 (1-x^{-2}) + \\ + \rho (\omega r_w)^2 (x^2 - 1) \frac{1+7\bar{K}+56\bar{K}^2}{144} - (\Delta p_f)_x \end{aligned} \quad (10)$$

Oznaczono tu $(\Delta p_f)_x = \frac{r_w}{s} \int_1^x (\tau_{nr} + \tau_{\omega r}) dx$; jest to spadek ciśnienia wskutek tarcia cieczy o ścianki pomiędzy $x=1$ a x , z uwzględnieniem wirowania i osiowego przesuwu ścianki. Wartość $(\Delta p_f)_x$ obliczono w sposób przybliżony, aby otrzymać wzór końcowy w dogodnej postaci analitycznej.

Wykorzystując wyniki uzyskane w [1] można napisać dla $n=7$:

$$\tau_{nr} + \tau_{\omega r} = \rho \frac{c_w^2}{2} 0,0791 \text{Re}^{-1/4} \left\{ \left[1 + (\beta_n N)^2 \right]^{3/8} + \left[1 + (\beta_\omega N)^2 \right]^{3/8} \right\} \approx$$

$$\approx \rho \frac{c^2}{2} 0,0791 \operatorname{Re}^{-1/4} 2(1 + \delta x^4 - \varepsilon x^6),$$

gdzie:

$$\beta_n = \frac{n}{n+1} K = \frac{7}{8} K; \quad \beta_\omega = \frac{n}{n+1}(1-K) = \frac{7}{8}(1-K);$$

$$\delta = \frac{3 \cdot 49}{16 \cdot 64} (1 - 2K + 2K^2) N_w^2; \quad \varepsilon = \frac{5 \cdot 343}{128 \cdot 512} (1 - 3K + 3K^2) N_w^3$$

Uwzględniając (4), (5) a następnie rozwijając wyrażenie w nawiasie kwadratowym (niżej) w szereg Taylora i biorąc trzy pierwsze wyrazy otrzymano:

$$c^2 \operatorname{Re}^{-1/4} = c_w^2 \operatorname{Re}_w^{-1/4} [1 + G(x^2 - 1)]^{7/4} \approx c_w^2 \operatorname{Re}_w^{-1/4} x^{-7/4} (\alpha - \beta x + \gamma x^2),$$

gdzie

$$\alpha = 1 - \frac{7}{4}G + \frac{21}{8}G^2; \quad \beta = \frac{21}{4}G^2; \quad \gamma = \frac{7}{4}G + \frac{21}{8}G^2$$

(dla $d_x/d_w \leq 1,6$ oraz $V \leq 0,02$ m/s największy błąd tego rozwinięcia, tj. na średnicy zewnętrznej, nie przekracza 6%). Stąd

$$\begin{aligned} \tau_{nr} + \tau_{\omega r} = 0,0791 \rho c_w^2 \operatorname{Re}_w^{-1/4} & \left[\alpha x^{-7/4} - \beta x^{-3/4} + \gamma x^{1/4} + \alpha \delta x^{9/4} + \right. \\ & \left. - \beta \delta x^{13/4} + (\delta \delta - \alpha \varepsilon) x^{17/4} + \beta \varepsilon x^{21/4} - \delta \varepsilon x^{25/4} \right] \end{aligned}$$

a po scałkowaniu

$$(\Delta p_f)_x = (\Delta p_{fo})_x I_x \left[1 + \frac{\alpha(\Phi_x - 1) - \beta \Psi_x + \gamma \Omega_x}{I_x} \right], \quad (11)$$

gdzie:

$$\left. \begin{aligned} (\Delta p_{fo})_x &= 0,1055 \rho c_w^2 \operatorname{Re}_w^{-1/4} \frac{r_w}{8} (1 - x^{-3/4}) \\ I_x &= \alpha - \beta \frac{x^{1/4-1}}{1-x^{-3/4}} + \frac{3}{5} \gamma \frac{x^{5/4-1}}{1-x^{-3/4}}; \quad \Phi_x = 1 + \frac{3}{13} \delta \frac{x^{13/4-1}}{1-x^{-3/4}} - \frac{3}{21} \varepsilon \frac{x^{21/4-1}}{1-x^{-3/4}} \\ \Psi_x &= \frac{3}{17} \delta \frac{x^{17/4-1}}{1-x^{-3/4}} - \frac{3}{25} \varepsilon \frac{x^{25/4-1}}{1-x^{-3/4}}; \quad \Omega_x = \frac{3}{21} \delta \frac{x^{21/4-1}}{1-x^{-3/4}} - \frac{3}{29} \varepsilon \frac{x^{29/4-1}}{1-x^{-3/4}} \end{aligned} \right\} \quad (12)$$

Jak wykazały liczne obliczenia kontrolne dla $x \leq 1,6$ i $V \leq 0,02$ m/s oraz $N_w \leq 1,5$ można przyjąć, z błędem mniejszym od 1%, iż

$$1 + \frac{\alpha(\Phi_x - 1) - \beta \Psi_x + \gamma \Omega_x}{I_x} \approx \Phi_x, \text{ wobec czego}$$

$$(\Delta p_f)_x \approx (\Delta p_{fo})_x I_x \Phi_x \quad (13)$$

Wzór (10) w połączeniu z zależnościami (12) i (13) lub (11) określa poszukiwany rozkład ciśnień w szczelinie.

Podstawiając w powyższych wzorach $r = r_x$ oraz $x = r_x/r_w = a$ otrzymano wzór na całkowity spadek ciśnienia wewnątrz szczeliny z przesuwaną się i równocześnie wirującą ścianką

$$\Delta p_B = I \Phi \Delta p_{fo} - \Delta p_{dyf} - \Delta p_\omega + \frac{32}{63} \rho c_w V \frac{d_w}{2B} (2 \ln a + 1 - a^2) + \frac{8}{63} \rho V^2 \left(\frac{d_w}{2B} \right)^2 (3a^2 - 4 \ln a - 4 + a^{-2}), \quad (14)$$

gdzie:

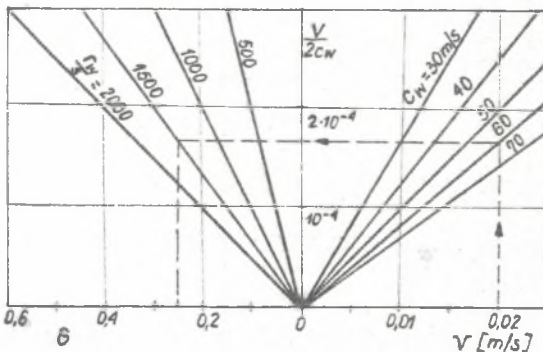
$$\left. \begin{aligned} \Delta p_{fo} &= 0,1055 \rho c_w^2 \frac{d_w}{2B} \operatorname{Re}_w^{-1/4} (1 - a^{-3/4}); \\ \Delta p_{dyf} &= \frac{32}{63} \rho c_w^2 (1 - a^{-2}); \quad \Delta p_\omega = \rho (\omega r_w)^2 (a^2 - 1) \frac{1 + 7K + 56K^2}{144}; \\ I &= \alpha - 3\beta \frac{a^{1/4} - 1}{1 - a^{-3/4}} + \frac{3}{5} \gamma \frac{a^{5/4} - 1}{1 - a^{-3/4}}; \quad \Phi = 1 + \frac{3}{13} \delta \frac{a^{13/4} - 1}{1 - a^{-3/4}} - \frac{3}{21} \varepsilon \frac{a^{21/4} - 1}{1 - a^{-3/4}} \end{aligned} \right\} \quad (15)$$

Dla porównania, aby zapewnić przepływ z taką samą prędkością c_w w szczególności ze ścianką wirującą, lecz ustaloną osiowo potrzebny jest mniejszy spadek ciśnienia

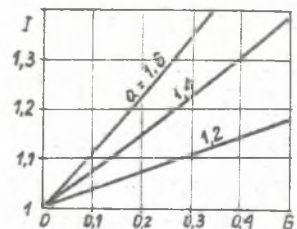
$$(\Delta p_B)_{V=0} = \Phi \Delta p_{fo} - \Delta p_{dyf} - \Delta p_\omega \quad (16)$$

Wzór ten, otrzymany w [1], wynika także z (14) i (15) po podstawieniu $V = 0$. Główną przyczyną różnicy wyników otrzymywanych ze wzorów (14) i (16) jest większa od jedności wartość współczynnika I przy Δp_{fo} oraz pojawienie się składnika zawierającego $c_w V$ we wzorze (14). Wpływ V na I , a stąd na Δp najlepiej ocenić analizując rysunki 3 i 4. Dla szczelin spotykanych w układach odciążających wartość I może sięgać nawet 1,3–1,4, co wskazuje na znaczny wpływ prędkości przesuwu osiowego.

Wpływ poszczególnych parametrów najlepiej prześledzić na konkretnym przykładzie liczbowym. Tak np. dla szczeliny o wymiarach $d_w = 200$ mm; $d_z = 300$ mm; $s = 0,1$ mm; $\omega = 500$ rd/s uzyskanie prędkości na wlocie $c_w = 50$ m/s wymaga, przy $V = 0$, spadku ciśnienia (dla wody zimnej) $(\Delta p_B)_{V=0} = 7,37 \cdot 10^6$ Pa. Natomiast przy $V = 0,02$ m/s uzyskanie tej samej prędkości c_w wymaga zapewnienia spadku ciśnienia wewnątrz szczeliny $\Delta p_B = 9,67$ MPa, a więc aż o 31% większego niż poprzednio. Jeśli spadek Δp_B nie może się powiększyć, to ruch ścianki z prędkością $V = 0,02$ m/s spowoduje zmniejszenie się prędkości c_w (jak również przecieku) o ok. 16%.



Rys. 3. Wartość współczynnika pomocniczego I



Rys. 4. Wartość współczynnika I

4. Uwagi końcowe

Wyprowadzone w pracy zależności przybliżone mogą być wykorzystane do obliczenia przecieku Q (przy danym $\Delta p = p_w - p_z$) lub spadku ciśnienia Δp (przy danym Q) w szczelinie, której wirująca ścianka przemieszcza się równocześnie osiowo z prędkością V . Można je wykorzystać również do obliczenia siły F_S działającej na ściankę szczeliny.

Podane wzory ważne są także dla przypadku ruchu ścianki zgodnego ze zwrotem osi z (rys.1), tj. przy zwiększaniu się szerokości szczeliny. Do wzorów należy podstawić wówczas $V < 0$, otrzymując $G < 0$ i $I < 0$; wpływ V na Δp_S i inne parametry będzie więc przeciwny niż poprzednio.

Podane w pracy zależności mogą być przydatne przy rozwiązywaniu przypadku nieustalonego przepływu cieczy w szczelinie, tj. gdy $V = V(t)$.

WAŻNIEJSZE OZNACZENIA

(wszystkie wielkości w jednostkach układu SI)

$a = d_z/d_w$ - stosunek średnic szczeliny

$c = Q/\pi d_s$ - średnia prędkość przepływu promieniowego w szczelinie

I - współczynnik wpływu osiowego przesuwu ścianki z prędkością V na $p(r)$

$\bar{K} = (\nu_\varphi/u)_{z=S/2}$ - średni współczynnik zawirowania cieczy w połowie szerokości szczeliny

$N = u/c$ - współczynnik bezwymiarowy

p - ciśnienie statyczne absolutne cieczy

Q - natężenie przepływu cieczy w szczelinie (strumień objętości)

$Re = c \cdot 2s/\nu$ - liczba Reynoldsa

s - szerokość szczeliny

$u = \omega r$ - prędkość obwodowa ścianki na promieniu r

v_r, v_φ, v_z - składowe wektora prędkości uśrednionego czasowo przepływu turbulentnego

V - prędkość przesuwu osiowego ścianki ruchomej

$x = r/r_w$ - względny promień

$\bar{\varphi}$ - współczynnik wzrostu strat tarcia w szczelinie wskutek wirowania

ω - prędkość kątowa ścianki ruchomej

wskaźniki dolne

w - dotyczy średnicy wewnętrznej (wlotowej) d_w szczeliny

z - dotyczy średnicy zewnętrznej (wylotowej) d_z szczeliny

x - dotyczy względnego promienia $x=r/r_w$

LITERATURA

- [1] Jędrał W.: Turbulentny przepływ cieczy w hydraulicznie gładkich szczelinach poprzecznych. Archiwum Budowy Maszyn, 1981, nr 1.

ТУРБУЛЕНТНОЕ ТЕЧЕНИЕ ЖИДКОСТИ В ТОРЦЕВОЙ ЩЕЛИ
С ВРАЩАЮЩИМСЯ И ПЕРЕМЕЩАЮЩИМСЯ В ОСЕВОМ НАПРАВЛЕНИИ ДИСКОМ

Р е з ю м е

В работе выведены приближенные формулы, характеризующие турбулентное центробежное течение жидкости в гидравлически гладкой торцевой щели, образованной двумя параллельными дисками, один из которых неподвижен, а второй вращается с постоянной угловой скоростью. Вращающийся диск одновременно перемещается в осевом направлении со скоростью V . Полученные формулы можно использовать в компьютерных расчетах гидростатических упорных подшипников, особенно гидравлических пяят в многоступенчатых центробежных насосах.

TURBULENT LIQUID FLOW THROUGH AN AXIAL CLEARANCE
WITH ROTATING AND MOVING IN THE AXIAL DIRECTION DISC

S u m m a r y

The approximate formulae derived in the present paper describe turbulent centrifugal liquid flow through a hydraulically smooth axial clearance bounded by two parallel discs, one of which is fixed, the other rotating at a constant angular speed. At the same time the rotating disc moves at a velocity V in the axial direction. The formulae may be useful for computer simulation of dynamic properties of hydrostatic thrust bearings and particularly of balancing discs in multistage centrifugal pumps.